

04; 10

© 1992 г.

**О ПРОСТРАНСТВЕННОМ И ЭНЕРГЕТИЧЕСКОМ РАСПРЕДЕЛЕНИИ  
БЫСТРЫХ ЭЛЕКТРОНОВ В РАЗРЯДЕ  
С ЦИЛИНДРИЧЕСКИМ ПОЛЫМ КАТОДОМ**

*P. P. Арсланбеков, А. А. Кудрявцев, И. А. Мовчан*

Предложена модель для расчета пространственного распределения быстрых электронов в разряде с цилиндрическим полым катодом. Учет изменения углового распределения электронов основан на резкой смене соотношения между длинами релаксаций электронов по направлению и величине скорости в узкой области энергий. Это позволяет приближенно разбить функцию распределения электронов по энергиям на полностью анизотропную при больших энергиях и изотропную при меньших энергиях. С помощью полученных результатов можно рассчитать интегральные по энергии характеристики возбуждения и ионизации и наблюдаемые закономерности радиальных профилей атомных и ионных линий.

**1.** В плазме отрицательного свечения (ОС) разряда с полым катодом возбуждение и ионизация газа осуществляются быстрыми электронами, эмиттируемыми катодом и набравшими энергию  $\varepsilon_0 = 10^2 - 10^3$  эВ при прохождении узкой зоны потенциала катодного падения [1]. Поэтому для расчета характеристик плазмы ОС необходимо знание функции распределения электронов (ФРЭ) в широком диапазоне энергий от  $\varepsilon_0$  до порога неупругих процессов  $\delta\varepsilon_1 = 10 - 20$  эВ. В этом диапазоне энергий меняется и характер углового распределения сечений упругого и неупругого рассеяния электронов на атомах газа, переходя от анизотропного при больших энергиях ( $\varepsilon \geq 100$  эВ) к изотропному при меньших энергиях  $\varepsilon \leq 50$  эВ [2]. В такой ситуации следует ожидать и изменения степени анизотропии ФРЭ по мере изменения энергии электронов. Так, многочисленные эксперименты, выполненные в ОС цилиндрического полого катода (см., например, [3, 4]) обнаруживают резко различный характер радиальной зависимости свечения атомарных и ионных линий. Поведение ионных линий эффективно возбуждаемых в гелии электронами с энергией  $\varepsilon \geq 100$  эВ свидетельствует об анизотропии ФРЭ в этой области энергий, в то время как поведение атомарных линий, особенно триплетных состояний гелия, имеющих максимальные значения сечений возбуждения при  $\varepsilon = 20 - 60$  эВ, указывает на близость к изотропной ФРЭ в этой области энергий.

В литературе наиболее детально энергетическое распределение электронов в ОС полого катода рассматривалось в цикле работ [5], где предлагалось находить усредненную по углам и объему полого катода ФРЭ, для которой кинетическое уравнение формально совпадает с соответствующим для сферически симметричной ФРЭ в пространственно однородной плазме. Однако эта методика не позволяет описать локальные профили возбуждения и ионизации. Распределения быстрых электронов по координате рассматривалось ранее для двух предельных случаев угловой зависимости ФРЭ в пространстве скоростей. В рабо-

так [6–8] для плоской и цилиндрической геометрии ФРЭ предполагалась изотропной во всем диапазоне энергий, а в [9] рассмотрено распространение полностью анизотропного плоского пучка электронов.

Из сказанного выше следует, что существующие модели не позволяют адекватно описать экспериментально наблюдаемые радиальные зависимости функций возбуждения и ионизации в ОС полого катода.

В данной работе предложена приближенная методика для расчета пространственного профиля быстрых электронов в разряде с цилиндрическим полым катодом. Полученные результаты позволяют количественно рассчитывать интегральные характеристики возбуждения и ионизации и наблюдаемые закономерности радиальных профилей атомарных и ионных линий.

**2.** Как известно [1], одной из отличительных особенностей разряда с полым катодом является резкое уменьшение области катодного падения потенциала (КП) по сравнению с обычным тлеющим разрядом. Ее размеры обычно таковы, что электроны, эмиттируемые катодом, проходят область КП практически без столкновений и приобретают энергию  $\varepsilon_0 = eU_k$ . Поэтому можно принять, что из катода вылетает первичный пучок электронов с энергией  $\varepsilon_0$ , направленный по нормали к поверхности катода. Двигаясь в глубь ОС, электроны пучка релаксируют по импульсу и по энергии вследствие столкновений с частицами газа. Эффективная длина релаксации по импульсу (направлению скорости)

известна [1].

Рис. 1. Используемые сечения.

1 – транспортное, 1' – транспортное упругое, 2 – суммарное сечение возбуждения электронных уровней, 3 – сечение ионизации.

$\lambda_p$  определяется величиной транспортного сечения  $\sigma_{tr}$ , а длина релаксации по энергии  $\lambda_\varepsilon$  зависит от полного сечения неупругого рассеяния в силу малости фактора энергообмена  $\delta = 2 m/M \ll 1$ . Для примера на рис. 1 приведены из [10] данные о поведении сечений упругого и неупругого рассеяния электронов на атомах гелия. Видно, что справа от энергии  $\varepsilon_2 \approx 80$  эВ, в которой сечения упругих (el) и неупругих (in) процессов приблизительно равны ( $\sigma_{el}(\varepsilon_2) \approx \sigma_{in}(\varepsilon_2)$ ) электроны сталкиваются в основном неупруго, в то время как в обратном случае  $\varepsilon < \varepsilon_2 \sigma_{el}^{tr} > > \sigma_{in}$ . Поскольку при  $\varepsilon > \varepsilon_2$  сечения столкновений имеют резко вытянутое вперед распределение по углам [2], то релаксация таких электронов по направлению в этом диапазоне энергий практически не происходит и они преимущественно сохраняют свое первоначальное направление движения. Поэтому можно считать, что ФРЭ при  $\varepsilon \geq \varepsilon_2 \approx 80$  эВ является анизотропной и для ее нахождения необходимо использовать кинетическое уравнение для полной ФРЭ, которое в отсутствие электрического поля и в пренебрежении упругими столкновениями имеет вид

$$\nabla \nabla f(\varepsilon, r) = S^*(f) \quad (1)$$

В (1)  $\dot{V}$  – скорость электрона,  $S^*(f)$  – интеграл неупругих столкновений возбуждения и ионизации. Для цилиндрических координат

$$\nabla \nabla f(\varepsilon, r) = \pm V \frac{1}{r} \frac{\partial}{\partial r} (rf), \quad (2)$$

причем знак в (2) зависит от направления движения электрона: минус – при

движении к центру и плюс — для противоположного направления. При записи интеграла столкновений для ионизации можно пренебречь образованием вторичных электронов, поскольку в основном они имеют энергию  $\epsilon \leq \epsilon_1$  [2]. Тогда он будет иметь вид, соответствующий аналогичному для возбуждения. Учитывая, что в инертных газах различия между потерями энергии на возбуждение и ионизацию малы, интеграл столкновений запишем в приближении одинаковых потерь энергии [11]

$$S^*(f) = -\nu_{ef}(\epsilon + \epsilon^*) f(\epsilon + \epsilon^*) + \nu_{ef}(\epsilon) f(\epsilon), \quad (3)$$

где  $\nu_{ef}(\epsilon) = v^*(\epsilon) + v_i(\epsilon)$ ,  $v^*$  — суммарная частота возбуждения;  $v_i$  — ионизации;  $\epsilon^*$  — эффективная энергия, которую в среднем теряет электрон при одном столкновении.

Анализ показывает, что использование  $S^*$  в виде (3) дает в итоге значения интегральных характеристик ионизации и возбуждения, близкие к полученным при точной записи интеграла столкновений для ионизации [11].

Если решение (1) в зависимости от знака перед (2) обозначить через  $f_+(\epsilon, r)$  и  $f_-(\epsilon, r)$ , то очевидно

$$f_+(\epsilon, r) = f_-(\epsilon, -r). \quad (4)$$

Используя граничное условие

$$f(\epsilon, r) = A\delta(\epsilon_0 - \epsilon), \quad (5)$$

из (1)–(3) для  $f_+(\epsilon, r)$  получим, предполагая слабое изменение  $\nu_{ef}$  на  $\epsilon^*$ ,

$$f_+(\epsilon, r) = A \frac{\exp(-(R-r)/\lambda^*)}{|\epsilon|} R \frac{\nu_{ef}(\epsilon_0)}{\nu_{ef}(\epsilon)} \sum_{k=0}^M \left( \frac{(R-r)}{\lambda^*} \right)^k \frac{1}{k} \delta(\epsilon_0 - \epsilon - k\epsilon^*), \quad (6)$$

где  $M(\epsilon) = (\epsilon_0 - \epsilon)/\epsilon^*$ ,  $\lambda^* = \lambda^*(\epsilon) = V/v_{ef}$ .

Используя (4), легко получить соответствующее выражение для  $f_-(\epsilon, r)$ .

Для получения полной ФРЭ при  $\epsilon > \epsilon_2$  необходимо учесть отражение от стенок всех электронов с  $\epsilon < \epsilon_0$ , предполагая, что при отражении электрон не теряет энергии, а лишь меняет свое направление движения на противоположное. В итоге для ФРЭ при  $\epsilon \geq \epsilon_2$  получим

$$f(\epsilon, r) = \sum_{i=0}^n W(\epsilon, r(-1)^i + 2Ri), \quad (7)$$

где  $W(\epsilon, r) = f_+(\epsilon, r) + f_-(\epsilon, r)$ , а суммирование по  $i$  учитывает отражение электронов от стенок при  $\epsilon \geq \epsilon_2$ ,  $n$  — число отражений.

Здесь следует отметить, что отражение электронов от стенок приводит к полной релаксации энергии быстрых электронов на возбуждение и ионизацию газа в ограниченном объеме и является одной из отличительных особенностей разряда с полым катодом.

Отметим также, что интеграл неупругих столкновений при  $\epsilon \gg \epsilon^*$  путем разложения по малому параметру  $\epsilon^*/\epsilon$  можно записать в приближении непрерывных потерь энергии [11]

$$S^*(f) = -\frac{\partial}{\partial \epsilon} (\epsilon^* \nu_{ef} f(\epsilon, r)), \quad (8)$$

которое при нахождении ФРЭ в пространственно однородном случае дает удовлетворительные результаты. В рассматриваемом здесь случае решение (1) с  $S^*$  в форме (8) имеет вид распространения начального  $\delta$ -образного сигнала

$$f_+(\epsilon, r) = A\delta((R-r)/\lambda^* - (\epsilon_0 - \epsilon)/\epsilon^*). \quad (9)$$

Выражение (9) резко отличается как от точного решения (1), так и от представленного выше (6), а предельный переход (6) в (9) осуществляется

лишь при нереализуемых значениях параметров. Анализ фурье-образов показывает, что переход от модели постоянных потерь энергии к модели непрерывного замедления в пространственно неоднородном случае возможен лишь при выполнении следующего условия:  $\omega_{\max}^* \ll 1$ , где  $\omega_{\max}$  — максимальная частота в фурье-разложении начального сигнала  $f^{nac}(\epsilon, R)$ . В случае  $\delta$ -образного входного сигнала это условие заведомо не выполняется.

При  $\epsilon < \epsilon_2$  релаксация электронов по направлению происходит значительно быстрее, чем по энергии  $\lambda_p \ll \lambda_\epsilon$  (рис. 1). В этой области энергий дифференциальные сечения, в первую очередь упругих столкновений, имеют широкое угловое распределение [2], в частности, транспортное сечение упругого рассеяния мало отличается от полных. Поэтому ФРЭ при  $\epsilon < \epsilon_2$  можно считать близкой к изотропной. В силу специфики изменения сечений упругих и неупругих столкновений от энергии (рис. 1) область перехода является резкой, что позволяет полагать переход от анизотропного к полностью изотропному распределению электронов непосредственно в точке  $\epsilon_2$ . Учитывая, что при расчетах интегральных по различным областям энергий скоростей возбуждения и ионизаций вклад переходной области мал, такое приближение представляется разумным.

Движение изотропных электронов при  $\lambda_{tr} < R$  является диффузионным, и соответствующее уравнение для сферически симметричной части  $f_0(\epsilon, r)$  ФРЭ для цилиндрической геометрии имеет вид

$$\frac{I}{r} \frac{\partial}{\partial r} \left( D_{rr} \frac{\partial}{\partial r} f_0 \right) + S^*(f_0) = 0, \quad (10)$$

где  $D_r = 1/3 V \lambda_{tr}$  — коэффициент диффузии электрона.

При записи (10) пренебрежено потерями энергии при упругих и межэлектронных столкновениях, роль которых существенна лишь вблизи порога возбуждения. Границные условия к (10) имеют вид

$$\frac{\partial}{\partial r} f_0 \Big|_{r=R} = 0 \quad (11)$$

и начальное условие

$$\sqrt{\epsilon} f_0(\epsilon, r) \Big|_{\epsilon=\epsilon_2} = f(\epsilon_2, r), \quad (12)$$

где  $f(\epsilon_2, r)$  вычисляется по (7).

В цилиндрической геометрии целесообразно представить ФРЭ в виде ряда по функциям Бесселя нулевого порядка

$$f_0(\epsilon, r) = \sum_k f_k(\epsilon) j_0(\mu_k r / R), \quad (13)$$

где, согласно (11),  $\mu_k$  являются корнями функции Бесселя первого порядка.

Подставляя ряд (13) в (10) и интегрируя по  $r$  от 0 до  $R$ , получим уравнение для  $f_k(\epsilon)$ . Это уравнение близко к полученному в [5] для усредненной по объему ФРЭ с той лишь разницей, что появится дополнительный диффузионный член  $f_k(\epsilon) / \tau_{df}^k$ , где  $\tau_{df}^k = R^2 D_r / \mu_k^2$ . Методика решения этого уравнения с учетом упругих, неупругих и межэлектронных столкновений хорошо разработана в [5]. Далее мы приведем решение для  $f_k(\epsilon)$  при записи  $S^*$  в форме (3) и слабом изменении  $\lambda_\epsilon$  на  $\epsilon^*$

$$f_k(\epsilon) = A_k \frac{\nu_{ef}(\epsilon_2)}{\nu_{ef}(\epsilon)} \sum_{f=0}^M \left( 1 + (\lambda_\epsilon / R)^2 \mu_k^2 \right)^{-1} \delta(\epsilon_2 - \epsilon - i\epsilon^*), \quad (14)$$

где  $\lambda_\varepsilon = (D_r/v_{\text{ef}})^{1/2}$  — длина энергетической релаксации электрона,  $M = M(\varepsilon) = (\varepsilon_2 - \varepsilon)/\varepsilon^*$ ,

$$A_k = \frac{2}{R^2 J_0^2(\mu_k)} \int_0^R f(\varepsilon_2, r) J_0(\mu_k r/R) r dr. \quad (15)$$

Следует отметить, что если ФРЭ (7) и (13) усреднить по радиусу, то получим решение, найденное в [5].

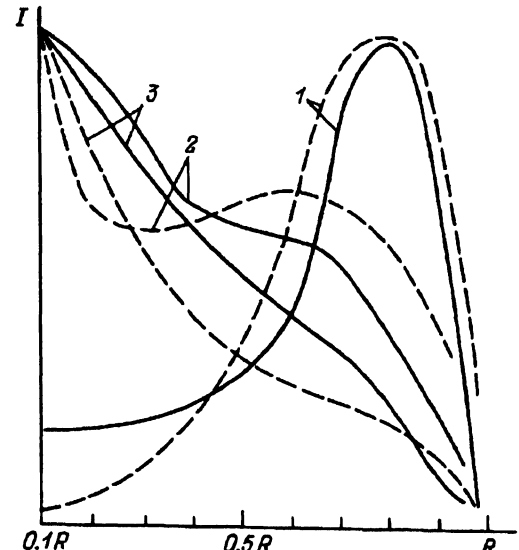


Рис. 2. Профили излучения ионной линии гелия 468.6 нм при разных давлениях.  
р, Тор: 1 – 3, 2 – 6, 3 – 10; сплошная кривая – эксперимент, пунктир – расчет.

3. Полученные ФРЭ позволяют рассчитать локальные скорости возбуждения атомов и ионов и профили источников ионизации. Для примера на рис. 2 для трубы радиуса  $R = 1$  см и энергии первичного пучка  $\varepsilon_0 = 200$  эВ приведены в зависимости от давления результаты расчетов скорости возбуждения состояния иона  $4f^2F$  гелия, с которого излучается спектральная линия 468.6 нм. Этот уровень имеет порог  $\sim 75$  эВ и возбуждается главным образом анизотропной ФРЭ (7). Основные закономерности поведения скорости возбуждения и повторяющих их ход интенсивностей свечения ионных линий видны из полученных формул и понятны из простых качественных соображений. Как следует из (6) радиальные закономерности для ФРЭ главным образом определяются конкуренцией двух множителей  $r^{-1}$  и  $[(R - r)/\lambda^*]^{k_{\text{exp}}} \exp(-(R - r)/\lambda^*)$ . Фактор  $r^{-1}$  имеет чисто геометрический смысл, описывает изменение концентрации в элементе объема  $r dr$  и дает ее возрастание на оси. Второй

множитель определяет изменение числа электронов за счет неупругих столкновений в виде распределения Пуассона. При низких давлениях, когда радиус трубы сравним с длиной пробега электрона  $\lambda^*$ , второй множитель слабо меняется и распределение электронов имеет острый максимум на оси  $\sim r^{-1}$ . При высоких давлениях главную роль играет второй множитель, дающий острый максимум у стенки трубы. Этот максимум с понижением давления смещается к центру и размыивается, так что в промежуточных случаях рассматриваемые множители входят с разным весом. На рис. 2 приведены также результаты экспериментов из [4], выполненные в цилиндрическом полом катоде с  $R = 1$  см. Видно, что имеет место удовлетворительное согласие.

В работе [3] одновременно измерялись радиальные зависимости свечения атомных и ионных линий гелия в полом катоде радиусом  $R = 1$  см. Соответствующие результаты для малых разрядных токов, когда можно пренебречь рекомбинационным заселением, приведены на рис. 3. Поведение ионных линий (кривая 1 на рис. 3) аналогично измеренному в [4] и подробно рассмотрено выше. Если предполагать, что ФРЭ является анизотропной вплоть до порога возбуждения  $\varepsilon_1 = 19.8$  эВ, то радиальная зависимость свечения атомных линий была бы аналогична свечению ионных (рис. 2). Однако соответствующие профили для одних и тех же условий даже качественно отличаются друг от друга.

В рамках предложенной модели этот факт связан с изменением характера углового распределения электронов, возбуждающих соответствующие состояния. В отличие от ионных исследуемые атомные триплетные уровни в силу особенностей поведения сечений эффективно возбуждаются электронами с энергией  $20 \leq \epsilon \leq 80$  эВ [2], т.е. главным образом изотропной ФРЭ. Движение изотропных электронов в пространстве носит диффузионный характер, и их радиальное распределение зависит от соотношения между длиной энергетической релаксации и радиусом трубки. Как видно из (14), при низких давлениях, когда  $\lambda_e$  сравнима или превышает  $R$ , главную роль в сумме (13) играет первое слагаемое с  $\mu = 0$ . В этом случае следует ожидать плоское по  $r$  распределение, что и наблюдается в эксперименте (кривая 2 на рис. 3). Увеличение давления приводит к уменьшению  $\lambda_e$  и  $\lambda$ , так что вылетевшие с поверхности катода электроны быстро релаксируют по энергии и профили спектральных линий будут иметь провал на оси трубки (кривая 3 на рис. 3). Выполненные расчеты для соответствующих условий хорошо согласуются с наблюдаемыми в [3] зависимостями свечения атомных и ионных линий. Если, как это было сделано, например, в [7, 8] считать всю ФРЭ, кроме первичного пучка с энергией  $\epsilon_0$ , изотропной, то поведение ионных линий имело бы вид, аналогичный для атомных, и противоречило эксперименту. Однако на вид ФРЭ вблизи порога  $\epsilon \sim \epsilon_1$  и на поведение атомных линий может влиять вклад вторичных электронов, учет которых является сложным в рамках данной модели.

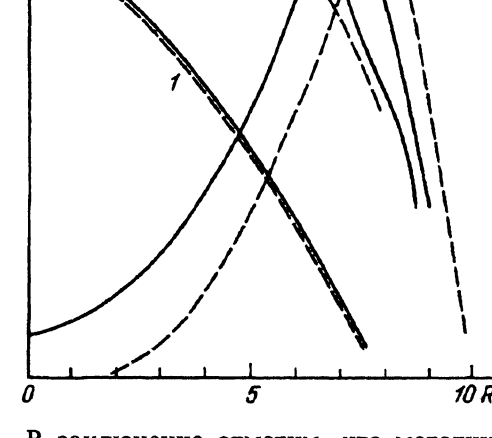


Рис. 3. Профили излучения триплетной линии гелия 587.5 нм при давлениях  $p=1.7$  (2) и  $4\text{Tor}$  (3) и ионной линии гелия 468.6 нм при  $p = 1.7 \text{ Tor}$  (1).

Сплошная кривая – эксперимент, пунктир – расчет.

В заключение отметим, что методика [1–4] нахождения ФРЭ при  $\epsilon < \epsilon_1$  также может быть уточнена, поскольку ФРЭ в этой области энергий априори близка к сферически симметричной. Для ее нахождения применимо двучленное разложение, которое обычно используется при решении кинетического уравнения в газоразрядной плазме. В итоге, зная найденные в данной работе профили источников ионизации, можно определить концентрацию и температуру электронов в полом катоде.

### Список литературы

- [1] Москалев Б.И. Разряд с полым катодом. М.: Энергия, 1969.
- [2] Мотт Н., Месси Г. Теория атомных столкновений. М.: Мир, 1969.
- [3] Кипп И., Howorka F., Stori H. // Phys. Rev. A. 1981. Vol. 23. N 2. P. 829–236.
- [4] Хворостовский С.Н. Канд. дис. Л., 1972.

- [5] Каган Ю.М., Лягушченко Р.И., Хворостовский С.Н. // ЖТФ. 1972. Т. 42. Вып. 8. С. 1686–1692.
- [6] Лягушченко Р.И. // ЖЭТФ. 1972. Т. 63. Вып. 5. С. 1706–1714.
- [7] Pointu A.M., Maynard C. // J. Appl. Phys. 1989. Vol. 65. N 12. P. 15.
- [8] Калинченко Г.А., Вайнер В.В., Иванов И.Г. // Физика плазмы. 1990. Т. 16. № 4. С. 460–466.
- [9] Каган Ю.М., Лавров Б.П., Лягушченко Р.И. // ЖТФ. 1977. Т. 47. Вып. 1. С. 580–588.
- [10] Дятко Н.А., Кочетков И.В., Напарикович А.П., Таран М.Д. // ТВТ. 1984. Т. 22. № 6. С. 1048–1054.
- [11] Кринберг И.А. Кинетика электронов в ионосфере и плазмосфере земли. М.: Наука, 1978. 214 с.

С.-Петербургский университет

Поступило в Редакцию

20 июня 1991 г.